	RESUMEN DE VÍAS PAVIMENTADAS A INTERVENIR EN EL DEPARTAMENTO DE CASANARE, MEDIANTE "SUMINISTRO DE MEZCLA ASFALTICA DENSA EN CALIENTE MDC-2 PARA EL REPARCHEO DE LA RED VIAL SECUNDARIA EN LOS MUNICIPIOS DE: MONTERREY, TAURAMENA, SABANALARGA, HATO COROZAL, PORE, TRINIDAD, SAN LUIS DE PALENQUE, TAMARA, NUNCHIA, MANI,PAZ DE ARIPORO, OROCUE, YOPAL, RECETOR Y CHAMEZA DEL DEPARTAMENTO DE CASANARE".				
ITEM	**NOMBRE DE LA VÍA**	**CODIGO**	**MUNICIPIO**	**KILOMETROS**	**CANTIDAD M3 DE ASFALTO**
1	MONTERREY-TAURAMENA	65CA10	MONTERREY-TAURAMENA	27,27	84
2	MARGINAL (EL VENADO) - TAURAMENA-TAURAMENA	65CA01	TAURAMENA	13,63	35,5
3	ALTERNA AL LLANO MARGINAL (EL SECRETO)-SABANALARGA	56CA01	SABANALARGA	5,67	30
4	MARGINAL (HATO COROZAL) - SAN SALVADOR (RIO CASANARE)	65CA13	HATOCOROZAL	15	25,00
5	PAZ DE ARIPORO - MONTAÑAS DEL TOTUMO - LAS GUAMAS - LA HERMOSA	65CA09	PAZ DE ARIPORO	28	30
6	PORE-TRINIDAD	65CA08	PORE-TRINIDAD	56	61,5
7	SAN RAFAEL DE GUANAPALO - SAN LUIS DE PALENQUE - TRINIDAD	65CA01-1	SAN LUIS DE PALENQUE	29,7	50
8	MARGINAL (RECOSTON)-TAMARA	65CA07	TAMARA	32,79	160,00
9	LA MARGINAL (YOPALOSA) - NUNCHIA - TAMARA	65CA05	NUNCHIA	19,5	60

10	MARGINAL (EL RESGUARDO O LA VARA) - MANI	65CA03	MANI	52,7	90
11	MARGINAL (LA NEVERA) - OROCUE (SECTOR SAN RAFAEL DE GUANAPALO - OROCUE)	65CA06	OROCUE	27,1	90
12	YOPAL - LABRANZAGRANDE (SECTOR MARGINAL (PUENTE LA CABUYA) - EL MORRO - LIMITE BOYACA)	65CA02	YOPAL	12,1	40
13	VIA DEL CUSIANA - MIRAFLORES (SECTOR SAN BENITO - RECETOR)	65CA01	RECETOR	12	45
14	VIA DEL CUSIANA - MIRAFLORES (SECTOR RECETOR - CHAMEZA - RIO UPIA)	62CA01	CHAMEZA	16,7	85
15	TRINIDAD - EL BANCO - BOCAS DEL PAUTO	65CA08-1	TRINIDAD	10	35
16	AGUAZUL - MANI	62CA02	AGUAZUL-MANI	50,8	85
			TOTAL	**408,96**	**1006**

ING. CIVIL JAVIER GIOVANNY SANDOVAL PARDO
PROFESIONAL UNIVERSITARIO
CTO A TERMINO FIJO Nº 5 DEL 005-2022

VIA DE ORDEN SECUNDARIO CODIGO 65CA10 MONTERREY-TAURAMENA								
REGISTRO FOTOGRAFICO				CODIGO DE VÍA	TIPO DE MATERIAL	LONGITUD (KM)	M3	
FOTO 1	FOTO 2	FOTO 3	FOTO 4					
				65CA10	MEZCLA DENSA EN CALIENTE MDC-2 O 19	27,27	84	
PUNTO DE REFERENCIA			**SENTIDO**		**DIMENSIONES**			
ITEM	**DESCRIPCION**	**ABSCISA**	**MONTERREY (A)**	**TAURAMENA (B)**	**ANCHO (M)= a**	**LONGITUD (M)= l**	**PROFUNDIDAD (M)= h**	**Volumen = M3**
1	Vanos originados por lámina hidráulica del encharcamiento superficial	K0+550	A	B	2	15	0,15	4,5
2	Vanos y disgregación de los agregados petreos de la carpeta asfáltica	K0+650	A	B	4	20	0,15	12
3	Vanos producidos por la presión capilar del sector (nivel freático)	K0+850	A	B	1	23	0,15	3,45
4	Grietas y vanos producidos por la percolación del agua, a causa del disgregamiento del matereal petreo y de cohesión de la carpeta asfáltica	K0+950	A	B	1,5	32	0,15	7,2
5	grietas y vanos producidos por la percolación del agua, a causa del disgregamiento del matereal petreo y de cohesión de la carpeta asfáltica	K1+150	A	B	3	7	0,15	3,15
6	Vanos originados por lámina hidráulica del encharcamiento superficial	K1+400	A	B	2	4	0,15	1,2

7	Vanos originados por lámina hidráulica del encharcamiento superficial	K7+100	A	B	1,5	3,2	0,15	0,72
8	Vanos originados por lámina hidráulica del encharcamiento superficial	K7+300	A	B	2,5	35	0,15	13,125
9	grietas y vanos producidos por la percolación del agua, a causa del disgregamiento del matereal petreo y de cohesión de la carpeta asfáltica	K8+300	A	B	1,4	80	0,15	16,8
10	grietas y vanos producidos por la percolación del agua, a causa del disgregamiento del matereal petreo y de cohesión de la carpeta asfáltica	K9+700	A	B	4	14	0,15	8,4
11	Vanos originados por lámina hidráulica del encharcamiento superficial	K10+800	A	B	2	9	0,15	2,7
12	Vanos originados por lámina hidráulica del encharcamiento superficial	K12+600	A	B	1	25	0,15	3,75
13	Vanos originados por lámina hidráulica del encharcamiento superficial	K14+700	A	B	1,5	32	0,15	7,2
							TOTAL	84

VIA DE ORDEN SECUNDARIO CODIGO 65CA01 MARGINAL (EL VENADO) - TAURAMENA-TAURAMENA							
REGISTRO FOTOGRAFICO				CODIGO DE VÍA	TIPO DE MATERIAL	LONGITUD	M3
FOTO 1	FOTO 2	FOTO 3	FOTO 4				
				65CA01	MEZCLA DENSA EN CALIENTE MDC-2 O 19	13,63	35,5
PUNTO DE REFERENCIA				**SENTIDO**	**DIMENSIONES**		

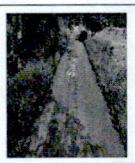
ITEM	DESCRIPCION	ABSCISA	EL VENADO (A)	TAURAMENA (B)	ANCHO (M)= a	LONGITUD (M)= l	PROFUNDIDAD (M)= h	Volumen = M3
1	Grietas y vanos en la carpetas asfáltica, generados por la erosión del suelo	K0+350	A	B	1,3	1,5	0,15	0,2925
2	Disgregación de materiales petreos y perdida de material cohesivo en la superficie asfáltica	K0+450	A	B	1,7	2	0,15	0,51
3	grietas y vanos en la carpetas asfáltica, generados por la erosión del suelo	K0+750	A	B	1,9	2,7	0,15	0,7695
4	grietas y vanos en la carpetas asfáltica, generados por la erosión del suelo	K1+010	A	B	1	2,8	0,15	0,42
5	Disgregación de materiales petreos y perdida de material cohesivo en la superficie asfáltica	K1+150	A	B	1,5	3,5	0,15	0,7875
6	Disgregación de materiales petreos y perdida de material cohesivo en la superficie asfáltica	K1+200	A	B	2	3,8	0,15	1,14
7	grietas y vanos en la carpetas asfáltica, generados por la erosión del suelo	K1+250	A	B	2,4	5	0,15	1,8
8	grietas y vanos en la carpetas asfáltica, generados por la erosión del suelo	K1+300	A	B	2,5	6	0,15	2,25
9	grietas y vanos en la carpetas asfáltica, generados por la erosión del suelo	K1+400	A	B	1,6	4	0,15	0,96
10	Disgregación de materiales petreos y perdida de material cohesivo en la superficie asfáltica	K1+500	A	B	2	7	0,15	2,1
11	grietas y vanos en la carpetas asfáltica, generados por la erosión del suelo	K1+600	A	B	4,3	9	0,15	5,805

12	vanos originados por la percolación de la escorrendia superfial	K1+800	A	B	1,7	12	0,15	3,06
13	vanos originados por la percolación de la escorrendia superfial	K2+600	B	A	1,7	3,1	0,15	0,7905
14	Perdida de la estructura soporte de la carpeta asfáltica, originada por procesos de intemperismo y erosión	K4+700	A	B	3	33	0,15	14,85
							TOTAL	35,5

VIA DE ORDEN SECUNDARIO CODIGO 65CA07 MARGINAL (RECOSTON)-TAMARA							
REGISTRO FOTOGRAFICO				CODIGO DE VÍA	TIPO DE MATERIAL	LONGITUD (KM)	M3
FOTO 1	FOTO 2	FOTO 3	FOTO 4				
				65CA07	MEZCLA DENSA EN CALIENTE MDC-2 O 19	13,63	35,5

PUNTO DE REFERENCIA			SENTIDO		DIMENSIONES			
ITEM	DESCRIPCION	ABSCISA	RECOSTON (A)	TAMARA (B)	ANCHO (M)= a	LONGITUD (M)= l	PROFUNDIDAD (M)= h	Volumen = M3
1	Tramo vial que presenta disgragamiento de material superficial, agrietamiento estructural	K1+810	A	B	1	5	0,15	0,75
2	Presencia de vanos y baches, afectando la estructura asfáltica	K2+070	A	B	3	7	0,15	3,15
3	Agrietamiento superficial, (piel de cocodrilo)	K2+580	A	B	4,3	2	0,15	1,29
4	Vanos y agrietamiento superficial en la estructura asfáltica	K2+810	A	B	3,4	5	0,15	2,55
5	Vanos de sobre tamaños,afectación profunda a la estructura asfáltica	K3+370	A	B	2,5	15	0,15	5,625
6	Agrietamiento superficial, (piel de cocodrilo)	K3+890	A	B	1,6	24	0,15	5,76

7	Agrietamiento superficial, (piel de cocodrilo)	K4+860	A	B	2,8	40	0,15	16,8
8	Perdida de la carpeta asfaltica por disgregación y erosión del sector	K23+500	A	B	4	17	0,15	10,2
9	Perdidad de la carpeta safaltica, por procesos erósivos y de remoción en masa	k29+900	A	B	3,2	10	0,15	4,8
10	Agrietamiento superficial, (piel de cocodrilo)	K31+400	A	B	4,1	3,5	0,15	2,1525
11	Agrietamiento superficial, (piel de cocodrilo)	K32+400	A	B	2,6	6	0,15	2,34
			A	B	2,2	7	0,15	2,31
12	Agrietamiento superficial, (piel de cocodrilo), hundimiento de la carpeta asfáltica	K32+800	A	B	1,5	10	0,15	2,25
							TOTAL	60,0

VIA DE ORDEN SECUNDARIO CODIGO 56CA01 ALTERNA AL LLANO MARGINAL (EL SECRETO)-SABANALARGA							
REGISTRO FOTOGRAFICO				CODIGO DE VÍA	TIPO DE MATERIAL	LONGITUD (KM)	M3
FOTO 1	FOTO 2	FOTO 3	FOTO 4				
				56CA01	MEZCLA DENSA EN CALIENTE MDC-2 O 19	5,67	30

PUNTO DE REFERENCIA			SENTIDO		DIMENSIONES			
ITEM	DESCRIPCION	ABSCISA	EL SECRETO (A)	SABANALARGA (B)	ANCHO (M)= a	LONGITUD (M)= l	PROFUNDIDAD (M)= h	Volumen = M3
1	Vanos originados por lámina hidráulica del encharcamiento superficial	K1+800	A	B	3,3	13	0,15	6,4
2	Vanos y disgregación de los agregados petreos de la carpeta asfáltica	K2+000	A	B	5	8	0,15	6,0
3	Vanos producidos por la presión capilar del sector (nivel freático)	K2+200	A	B	1,7	2	0,15	0,5

4	Grietas y vanos producidos por la percolación del agua, a causa del disgregamiento del matereal petreo y de cohesión de la carpeta asfáltica	K2+400	A	B	2,4	7,4	0,15	2,7
5	grietas y vanos producidos por la percolación del agua, a causa del disgregamiento del matereal petreo y de cohesión de la carpeta asfáltica	K2+600	A	B	3,2	12,3	0,15	5,9
6	Vanos originados por lámina hidráulica del encharcamiento superficial	K2+800	A	B	2,7	21	0,15	8,5
							TOTAL	30,0

VIA DE ORDEN SECUNDARIO CODIGO 65CA13 MARGINAL (HATO COROZAL) - SAN SALVADOR (RIO CASANARE)							
REGISTRO FOTOGRAFICO				CODIGO DE VÍA	TIPO DE MATERIAL	LONGITUD (KM)	M3
FOTO 1	FOTO 2	FOTO 3	FOTO 4				
				65CA13	MEZCLA DENSA EN CALIENTE MDC-2 O 19	15	25

PUNTO DE REFERENCIA			SENTIDO		DIMENSIONES			
ITEM	DESCRIPCION	ABSCISA	HATOCOROZAL (A)	PUERTO SAN SALVADOR (B)	ANCHO (M)= a	LONGITUD (M)= l	PROFUNDIDAD (M)= h	Volumen = M3
1	Perdida de agregados petreos, y material cohésivo de la mezcla asfáltica	K0+850	A	B	2	5	0,15	1,5
2	perdida de agregados petreos, y material cohésivo de la mezcla asfáltica	K1+300	A	B	1,5	3,6	0,15	0,81
3	perdida de agregados petreos, y material cohésivo de la mezcla asfáltica	K1+350	A	B	1,3	7	0,15	1,365
4	perdida de agregados petreos, y material cohésivo de la mezcla asfáltica	K1+500	A	B	1,5	4,5	0,15	1,0125

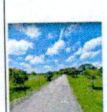
5	perdida de agregados petreos, y material cohésivo de la mezcla asfáltica	K3+200	A	B	2,7	1,8	0,15	0,729
6	perdida de agregados petreos, y material cohésivo de la mezcla asfáltica	K4+600	A	B	1,7	5	0,15	1,275
7	perdida de agregados petreos, y material cohésivo de la mezcla asfáltica	K7+500	A	B	1	5	0,15	0,75
8	perdida de agregados petreos, y material cohésivo de la mezcla asfáltica	K8+400	A	B	1,4	11	0,15	2,31
9	perdida de agregados petreos, y material cohésivo de la mezcla asfáltica	K8+470	A	B	1,4	5,7	0,15	1,197
10	perdida de agregados petreos, y material cohésivo de la mezcla asfáltica	K9+800	A	B	2,5	14	0,15	5,25
11	perdida de agregados petreos, y material cohésivo de la mezcla asfáltica	K13+200	A	B	1,5	1,5	0,15	0,3375
12	perdida de agregados petreos, y material cohésivo de la mezcla asfáltica	K13+500	A	B	1,5	15	0,15	3,375
13	perdida de agregados petreos, y material cohésivo de la mezcla asfáltica	K13+600	A	B	1,5	7	0,15	1,575
14	perdida de agregados petreos, y material cohésivo de la mezcla asfáltica	K13+800	A	B	2	5,7	0,15	1,71
15	perdida de agregados petreos, y material cohésivo de la mezcla asfáltica	K14+900	A	B	1,8	6,7	0,15	1,809
TOTAL								25,00

VIA DE ORDEN SECUNDARIO CODIGO 65CA09 PAZ DE ARIPORO - MONTAÑAS DEL TOTUMO - LAS GUAMAS - LA HERMOSA							
REGISTRO FOTOGRAFICO				CODIGO DE VÍA	TIPO DE MATERIAL	LONGITUD (KM)	M3
FOTO 1	FOTO 2	FOTO 3	FOTO 4				
				65CA09	MEZCLA DENSA EN CALIENTE MDC-2 O 19	28	30

PUNTO DE REFERENCIA			SENTIDO		DIMENSIONES			
ITEM	DESCRIPCION	ABSCISA	PAZ DE ARIPORO (A)	MONTAÑAS DEL TOTUMO (B)	ANCHO (M)= a	LONGITUD (M)= l	PROFUNDIDAD (M)= h	Volumen = M3
1	Se evidencia baches generados por la laminá de agua que se produce de las precipitaciones en el sector y quedan depositadas en la carpeta asfáltica, debido a los distintos hundimientos que se prolongan a lo largo del corredor vial.	K5+600	A	B	1,9	7	0,15	1,995
2	Grietas y disgregamientos del material petreo, perdida de material cohésivo de la liga asfáltica	K6+300	A	B	1,3	5	0,15	0,975
3	se evidencia baches generados por la laminá de agua que se produce de las precipitaciones en el sector y quedan depositadas en la carpeta asfáltica, debido a los distintos hundimientos que se prolongan a lo largo del corredor vial.	K6+700	A	B	1,5	10	0,15	2,25
4	se evidencia baches generados por la laminá de agua que se produce de las precipitaciones en el sector y quedan depositadas en la carpeta asfáltica, debido a los distintos hundimientos que se prolongan a lo largo del corredor vial.	K7+200	A	B	1,3	7	0,15	1,365

5	se evidencia baches generados por la laminá de agua que se produce de las precipitaciones en el sector y quedan depositadas en la carpeta asfáltica, debido a los distintos hundimientos que se prolongan a lo largo del corredor vial.	K7+250	A	B	1,1	9	0,15	1,485
6	se evidencia baches generados por la laminá de agua que se produce de las precipitaciones en el sector y quedan depositadas en la carpeta asfáltica, debido a los distintos hundimientos que se prolongan a lo largo del corredor vial.	K7+370	A	B	1,6	6	0,15	1,44
7	se evidencia baches generados por la laminá de agua que se produce de las precipitaciones en el sector y quedan depositadas en la carpeta asfáltica, debido a los distintos hundimientos que se prolongan a lo largo del corredor vial.	K8+800	A	B	1,2	4	0,15	0,72
8	grietas y disgregamientos del material petreo, perdida de material cohésivo de la liga asfáltica	K9+700	A	B	1,3	4,5	0,15	0,8775
9	grietas y disgregamientos del material petreo, perdida de material cohésivo de la liga asfáltica	K10+500	A	B	2,3	7	0,15	2,415

10	grietas y disgregamientos del material petreo, perdida de material cohésivo de la liga asfáltica	K11+400	A	B	3	7	0,15	3,15
11	grietas y disgregamientos del material petreo, perdida de material cohésivo de la liga asfáltica	K12+200	A	B	2,5	15,6	0,15	5,85
12	Se evidencia baches generados por la laminá de agua que se produce de las precipitaciones en el sector y quedan depositadas en la carpeta asfáltica, debido a los distintos hundimientos que se prolongan a lo largo del corredor vial.	K12+550	A	B	3,3	9,1	0,15	4,5045
13	Se evidencia baches generados por la laminá de agua que se produce de las precipitaciones en el sector y quedan depositadas en la carpeta asfáltica, debido a los distintos hundimientos que se prolongan a lo largo del corredor vial.	K12+750	A	B	2	9,9	0,15	2,97
							TOTAL	30,00

VIA DE ORDEN SECUNDARIO CODIGO 65CA08 PORE-TRINIDAD								
REGISTRO FOTOGRAFICO				CODIGO DE VÍA	TIPO DE MATERIAL	LONGITUD		M3
FOTO 1	FOTO 2	FOTO 3	FOTO 4					
				65CA13	MEZCLA DENSA EN CALIENTE MDC-2 O 19	15		61,52
PUNTO DE REFERENCIA			SENTIDO		DIMENSIONES			
ITEM	DESCRIPCION	ABSCISA	PORE (A)	TRINIDAD (B)	ANCHO (M)= a	LONGITUD (M)= l	PROFUNDIDAD (M)= h	Volumen = M3

1	Vanos originados por lámina hidráulica del encharcamiento superficial	K1+150		B	1,5	6	0,15	1,35
2	Vanos y disgregación de los agregados petreos de la carpeta asfáltica	K4+180	A	B	2,3	8,9	0,15	3,0705
3	Vanos producidos por la presión capilar del sector (nivel freático)	K13+100	A	B	1,4	6	0,15	1,26
					3,5	15,4	0,15	8,085
4	Grietas y vanos producidos por la percolación del agua, a causa del disgregamiento del matereal petreo y de cohesión de la carpeta asfáltica	K14+300	A	B	1,5	9	0,15	2,025
5	grietas y vanos producidos por la percolación del agua, a causa del disgregamiento del matereal petreo y de cohesión de la carpeta asfáltica	K18+800	A	B	1,9	5,7	0,15	1,6416
6	Vanos originados por lámina hidráulica del encharcamiento superficial	K24+400	A	B	2,5	6,9	0,15	2,5875
7	Vanos originados por lámina hidráulica del encharcamiento superficial	K25+500	A	B	2,5	9,7	0,15	3,6375
8	Vanos originados por lámina hidráulica del encharcamiento superficial	K28+600	A	B	7,3	7,6	0,15	8,322

9	grietas y vanos producidos por la percolación del agua, a causa del disgregamiento del matereal petreo y de cohesión de la carpeta asfáltica	K33+500	A	B	1,8	8,5	0,15	2,295
					5	13,4	0,15	10,05
10	grietas y vanos producidos por la percolación del agua, a causa del disgregamiento del matereal petreo y de cohesión de la carpeta asfáltica	K33+700	A	B	2,2	7	0,15	2,31
			A	B	3,1	9,2	0,15	4,278
			A	B	2,5	6,4	0,15	2,4
			A	B	2,3	7,1	0,15	2,4495
11	Vanos originados por lámina hidráulica del encharcamiento superficial	K33+800	A	B	4	9,6	0,15	5,76
							TOTAL	61,52

VIA DE ORDEN SECUNDARIO CODIGO 65CA01-1 SAN RAFAEL DE GUANAPALO - SAN LUIS DE PALENQUE - TRINIDAD							
REGISTRO FOTOGRAFICO				CODIGO DE VÍA	TIPO DE MATERIAL	LONGITUD (KM)	M3
FOTO 1	FOTO 2	FOTO 3	FOTO 4				
				65CA01-1	MEZCLA DENSA EN CALIENTE MDC-2 O 19	29,7	50

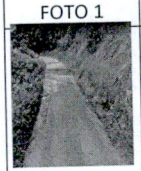
PUNTO DE REFERENCIA			SENTIDO		DIMENSIONES			
ITEM	DESCRIPCION	ABSCISA	LA NEVERA (A)	SAN LUIS DE PALENQUE-TRINIDAD (B)	ANCHO (M)= a	LONGITUD (M)= l	PROFUNDIDAD (M)= h	Volumen = M3
1	Perdida de material asfáltico y disgragación del material cohésivo y granular	K66+160	A	B	1	13	0,15	1,95
2	Perdida de material granular y cohésivo	K67+580	A	B	3,5	11	0,15	5,775
3	Vanos y baches originados por	K69+140	A	B	1,7	5,9	0,15	1,5045

4	Vanos y baches originados por los encharcamientos que se generan superficialmente	K70+820	A	B	1,6	11,7	0,15	2,808
5	vanos y baches originados por los encharcamientos que se generan superficialmente	K72+200	A	B	1,4	8,2	0,15	1,722
6	Vanos y baches, originados por los altos niveles fréaticos del sector, disgragamiento de material granular y cohésivo por laminas de agua, que se encharcan superficialmente en la estructura asfáltica	K75+200	Vanos y bac+D10hes, originados por los altos niveles fréaticos del sector, disgragamiento de material granular y cohésivo por laminas de agua, que se encharcan superficialmente en la estructura asfáltica	B	2,5	15,2	0,15	5,7
					3,5	15	0,15	7,875
					1,8	7,7	0,15	2,079
7	vanos y baches originados por los encharcamientos que se generan superficialmente	K78+330	A	B	2,7	9,2	0,15	3,726
8	vanos y baches originados por los encharcamientos que se generan superficialmente	K81+560	A	B	2,1	11,6	0,15	3,654
9	Vanos y baches originados por los encharcamientos que se generan superficialmente	K85+016	A	B	1,6	1,1	0,15	0,264
10	Vanos y baches originados por los encharcamientos que se generan superficialmente	K88+796	A	B	1	2,7	0,15	0,405
					1,5	1,8	0,15	0,405
11	Vanos y baches originados por los encharcamientos que se generan superficialmente	K92+696	A	B	1,6	1,9	0,15	0,456
12	Vanos y baches originados por los encharcamientos que se generan superficialmente	K94+616	A	B	1,1	4,1	0,15	0,6765
					1,7	0,9	0,15	0,2295

	Vanos y baches, originados por los altos niveles fréaticos del sector, disgragamiento de material granular y cohésivo por laminas de agua, que se encharcan superficialmente en la estructura asfáltica		A	B	0,6	0,9	0,15	0,081
13		K100+031	A	B	2	2,4	0,15	0,72
14	Vanos y baches, originados por los altos niveles fréaticos del sector, disgragamiento de material granular y cohésivo por laminas de agua, que se encharcan superficialmente en la estructura asfáltica	K100+940	A	B	0,3	1	0,15	0,045
15	Vanos y baches, originados por los altos niveles fréaticos del sector, disgragamiento de material granular y cohésivo por laminas de agua, que se encharcan superficialmente en la estructura asfáltica	K101+100	A	B	1,3	3,7	0,15	0,7215
16	Vanos y baches, originados por los altos niveles fréaticos del sector, disgragamiento de material granular y cohésivo por laminas de agua, que se encharcan superficialmente en la estructura asfáltica	K101+400	A		0,3	0,5	0,15	0,0225

17	Vanos y baches, originados por los altos niveles fréaticos del sector, disgragamiento de material granular y cohésivo por laminas de agua, que se encharcan superficialmente en la estructura asfáltica	K102+200	A	B	0,6	1,3	0,15	0,117
18	Vanos y baches, originados por los altos niveles fréaticos del sector, disgragamiento de material granular y cohésivo por laminas de agua, que se encharcan superficialmente en la estructura asfáltica	K103+950	A	B	1,7	3,2	0,15	0,816
19	Vanos y baches originados por los encharcamientos que se generan superficialmente	K104+380	A	B	1,3	3,2	0,15	0,624
20	Vanos y baches, originados por los altos niveles fréaticos del sector, disgragamiento de material granular y cohésivo por laminas de agua, que se encharcan superficialmente en la estructura asfáltica	K108+290	A	B	2,7	3,3	0,15	1,3365
21	Vanos y baches originados por los encharcamientos que se generan superficialmente	K108+750	A	B	1,6	1	0,15	0,24
22	Vanos y baches originados por los encharcamientos que se generan superficialmente	K109+140	A	B	1,2	1,9	0,15	0,342

23	Vanos y baches originados por los encharcamientos que se generan superficialmente	K109+180	A	B	0,7	1,3	0,15	0,1365
24	Vanos y baches originados por los encharcamientos que se generan superficialmente	K109+350	A	B	0,7	0,7	0,15	0,0735
25	Vanos y baches originados por los encharcamientos que se generan superficialmente	K109+400	A	B	0,3	0,7	0,15	0,0315
						TOTAL VOLUMEN	50,00	

VIA DE ORDEN SECUNDARIO CODIGO 65CA07 MARGINAL (RECOSTON)-TAMARA							
REGISTRO FOTOGRAFICO				CODIGO DE VÍA	TIPO DE MATERIAL	LONGITUD	M3
FOTO 1	FOTO 2	FOTO 3	FOTO 4				
				65CA07	MEZCLA DENSA EN CALIENTE MDC-2 O 19	32,79	160

PUNTO DE REFERENCIA			SENTIDO		DIMENSIONES			
ITEM	DESCRIPCION	ABSCISA	RECOSTON (A)	TAMARA (B)	ANCHO (M)= a	LONGITUD (M)= l	PROFUNDIDAD (M)= h	Volumen = M3
1	Tramo vial que presenta disgragamiento de material superficial, agrietamiento estructural	K1+810	A	B	0,5	1	0,15	0,075
2	Presencia de vanos y baches, afectando la estructura asfáltica	K2+070	A	B	1	1,3	0,15	0,195
3	Agrietamiento superficial, (piel de cocodrilo)	K2+580	A	B	1,7	1,9	0,15	0,4845
4	Vanos y agrietamiento superficial en la estructura asfáltica	K2+810	A	B	1,5	2,6	0,15	0,585
5	Vanos de sobre tamaños,afectación profunda a la estructura asfáltica	K3+370	A	B	2,8	3	0,15	1,26
6	Agrietamiento superficial, (piel de cocodrilo)	K3+890	A	B	1,3	3,7	0,15	0,7215
7	Agrietamiento superficial, (piel de cocodrilo)	K4+860	A	B	0,9	5,7	0,15	0,7695

8	Perdida de la carpeta asfaltica por disgregación y erosión del sector	K23+500	A	B	2,7	6,4	0,15	2,592
9	Perdidad de la carpeta safaltica, por procesos erósivos y de remoción en masa	k29+900	A	B	9,2	107	0,15	147,66
10	Agrietamiento superficial, (piel de cocodrilo)	K31+400	A	B	2,2	4	0,15	1,32
11	Agrietamiento superficial, (piel de cocodrilo)	K32+400	A	B	2,4	3,7	0,15	1,332
			A	B	2,3	3,5	0,15	1,2075
12	Agrietamiento superficial, (piel de cocodrilo), hundimiento de la carpeta asfáltica	K32+800	A	B	2,5	4,8	0,15	1,8
							TOTAL	160,00

VIA DE ORDEN SECUNDARIO CODIGO 65CA05 LA MARGINAL (YOPALOSA) - NUNCHIA - TAMARA							
REGISTRO FOTOGRAFICO				CODIGO DE VÍA	TIPO DE MATERIAL	LONGITUD (KM)	M3
FOTO 1	FOTO 2	FOTO 3	FOTO 4				
				65CA05	MEZCLA DENSA EN CALIENTE MDC-2 O 19	19,5	60

PUNTO DE REFERENCIA			SENTIDO		DIMENSIONES			
ITEM	DESCRIPCION	ABSCISA	LA YOPALOSA (A)	NUNCHIA (B)	ANCHO (M)= a	LONGITUD (M)= l	PROFUNDIDAD (M)= h	Volumen = M3
1	Vanos originados por la geográfia del sector y constantes desprendimientos de las laderas colindantes con la vía	K0+110	A	B	1,3	2,5	0,15	0,4875
2	Erosión de la estructura vial, originados por las remociones en masa que se presentan en el sector	K0+500	A	B	2,3	2,7	0,15	0,9315

3	Grietas oroginadas por la percolación de las laminas de aguas que se depositan en la estructura asfáltica	K0+800	A	B	1,7	1,8	0,15	0,459
4	grietas oroginadas por la percolación de las laminas de aguas que se depositan en la estructura asfáltica	K0+850	A	B	2,3	7,2	0,15	2,484
5	grietas oroginadas por la percolación de las laminas de aguas que se depositan en la estructura asfáltica	K0+950	A	B	1,9	9	0,15	2,565
6	vanos originados por la geográfia del sector y constantes desprendimiento s de las laderas colindantes con la vía	K1+020	A	B	1,9	2,7	0,15	0,7695
7	grietas oroginadas por la percolación de las laminas de aguas que se depositan en la estructura asfáltica	K1+100	A	B	2,5	7	0,15	2,625
8	vanos originados por la geográfia del sector y constantes desprendimiento s de las laderas colindantes con la vía	K1+150	A	B	2	3	0,15	0,9
9	Erosión de la estructura vial, originados por las remociones en masa que se presentan en el sector	K1+200	A	B	2,6	3,5	0,15	1,365

10	erosión de la estructura vial, originados por las remociones en masa que se presentan en el sector	K1+250	A	B	2,4	3,7	0,15	1,332
11	grietas oroginadas por la percolación de las laminas de aguas que se depositan en la estructura asfáltica	K1+300	A	B	1,6	9	0,15	2,16
12	vanos originados por la geográfia del sector y constantes desprendimientos de las laderas colindantes con la vía	K1+320	A	B	3,5	6	0,15	3,15
13	grietas oroginadas por la percolación de las laminas de aguas que se depositan en la estructura asfáltica	K1+350	A	B	3,9	14	0,15	8,19
14	grietas oroginadas por la percolación de las laminas de aguas que se depositan en la estructura asfáltica	K1+400	A	B	2,7	6	0,15	2,43
15	erosión de la estructura vial, originados por las remociones en masa que se presentan en el sector	K1+450	A	B	5	11	0,15	8,25
16	erosión de la estructura vial, originados por las remociones en masa que se presentan en el sector	K1+800	A	B	2,6	8	0,15	3,12

17	erosión de la estructura vial, originados por las remociones en masa que se presentan en el sector	K2+500	A	B	3,2	3	0,15	1,44
18	vanos originados por la geográfia del sector y constantes desprendimientos de las laderas colindantes con la vía	K2+800	A	B	3,5	5,6	0,15	2,94
19	vanos originados por la geográfia del sector y constantes desprendimientos de las laderas colindantes con la vía	K2+850	A	B	1,7	2,9	0,15	0,7395
20	vanos originados por la geográfia del sector y constantes desprendimientos de las laderas colindantes con la vía	K3+700	A	B	1,3	3,9	0,15	0,7605
21	vanos originados por la geográfia del sector y constantes desprendimientos de las laderas colindantes con la vía	K4+400	A	B	1,8	4,5	0,15	1,215
22	erosión de la estructura vial, originados por las remociones en masa que se presentan en el sector	K9+500	A	B	3	26	0,15	11,7
							TOTAL	60,00

VIA DE ORDEN SECUNDARIO CODIGO 65CA03 MARGINAL (EL RESGUARDO O LA VARA) - MANI							
REGISTRO FOTOGRAFICO				CODIGO DE VÍA	TIPO DE MATERIAL	LONGITUD	M3
FOTO 1	FOTO 2	FOTO 3	FOTO 4				
				65CA03	MEZCLA DENSA EN CALIENTE MDC-2 O 19	52,7	90

PUNTO DE REFERENCIA			SENTIDO		DIMENSIONES			
ITEM	DESCRIPCION	ABSCISA	MANI (A)	LA VARA (B)	ANCHO (M)= a	LONGITUD (M)= l	PROFUNDIDAD (M)= h	Volumen = M3
1	Perdida de agregados petreos, y material cohésivo de la mezcla asfáltica	K1+000	A	B	2,3	6,5	0,15	2,24
2	perdida de agregados petreos, y material cohésivo de la mezcla asfáltica	K5+200	A	B	3,5	20	0,15	10,50
3	perdida de agregados petreos, y material cohésivo de la mezcla asfáltica	K6+800	A	B	1,8	3,4	0,15	0,92
4	perdida de agregados petreos, y material cohésivo de la mezcla asfáltica	K6+850	A	B	1,5	2	0,15	0,45
5	perdida de agregados petreos, y material cohésivo de la mezcla asfáltica	K6+900	A	B	3,2	7	0,15	3,36
6	perdida de agregados petreos, y material cohésivo de la mezcla asfáltica	K6+900	A	B	3,5	12	0,15	6,30
7	perdida de agregados petreos, y material cohésivo de la mezcla asfáltica	K7+900	A	B	3,3	14	0,15	6,93
8	perdida de agregados petreos, y material cohésivo de la mezcla asfáltica	K7+970	A	B	2,5	5	0,15	1,88
9	perdida de agregados petreos, y material cohésivo de la mezcla asfáltica	K8+300	A	B	3	17	0,15	7,65
10	Perdida de agregados petreos, y material cohésivo de la mezcla asfáltica	95+300			2	7	0,15	2,10

11	Perdida de agregados petreos, y material cohésivo de la mezcla asfáltica	98+700			2,5	13	0,15	4,88
12	Perdida de agregados petreos, y material cohésivo de la mezcla asfáltica	99+950			2	17	0,15	5,10
13	Perdida de agregados petreos, y material cohésivo de la mezcla asfáltica	100+800			2,5	21	0,15	7,88
14	Perdida de agregados petreos, y material cohésivo de la mezcla asfáltica	101+100			1,6	15	0,15	3,85
15	Perdida de agregados petreos, y material cohésivo de la mezcla asfáltica	101+900			4,5	13	0,15	8,78
16	Perdida de agregados petreos, y material cohésivo de la mezcla asfáltica	102+880			2,1	8	0,15	2,52
17	Perdida de agregados petreos, y material cohésivo de la mezcla asfáltica	103+400			3	8	0,15	3,60
18	Perdida de agregados petreos, y material cohésivo de la mezcla asfáltica	108+100			3	11	0,15	4,95
19	Perdida de agregados petreos, y material cohésivo de la mezcla asfáltica	K109+200			2,9	9	0,15	3,92
20	perdida de agregados petreos, y material cohésivo de la mezcla asfáltica	K110+380	A	B	2	7,4	0,15	2,22
							TOTAL	90,00

VIA DE ORDEN SECUNDARIO CODIGO 65CA06 MARGINAL (LA NEVERA) - OROCUE (SECTOR SAN RAFAEL DE GUANAPALO - OROCUE)								
REGISTRO FOTOGRAFICO				CODIGO DE VÍA	TIPO DE MATERIAL	LONGITUD	M3	
FOTO 1	FOTO 2	FOTO 3	FOTO 4					
				65CA06	MEZCLA DENSA EN CALIENTE MDC-2 O 19	27,1	90	
PUNTO DE REFERENCIA			SENTIDO		DIMENSIONES			
ITEM	DESCRIPCION	ABSCISA	SAN RAFAEL DE GUANAPALO (A)	OROCUE (B)	ANCHO (M)= a	LONGITUD (M)= l	PROFUNDIDAD (M)= h	Volumen = M3

1	Tramo vial que presenta disgragamiento de material superficial, agrietamiento estructural	K87+400	A	B	1,4	7	0,15	1,47
2	Presencia de vanos y baches, afectando la estructura asfáltica	K89+300	A	B	2,4	11	0,15	3,96
3	Agrietamiento superficial, (piel de cocodrilo)	K90+200	A	B	2,5	7	0,15	2,625
4	Vanos y agrietamiento superficial en la estructura asfáltica	K91+400	A	B	3	15	0,15	6,75
5	Vanos de sobre tamaños,afectación profunda a la estructura asfáltica	K91+700	A	B	2,5	22	0,15	8,25
6	Agrietamiento superficial, (piel de cocodrilo)	K92+000	A	B	3,1	9	0,15	4,185
7	Agrietamiento superficial, (piel de cocodrilo)	K92+100	A	B	2,6	17	0,15	6,63
8	Perdida de la carpeta asfaltica por disgregación y erosión del sector	K107+200	A	B	1,9	20,4	0,15	5,814
9	Perdidad de la carpeta safaltica, por procesos erósivos y de remoción en masa	K109+300	A	B	6,9	26	0,15	26,91
10	Agrietamiento superficial, (piel de cocodrilo)	K111+100	A	B	3,1	14	0,15	6,51
11	Agrietamiento superficial, (piel de cocodrilo)	K112+000	A	B	2,9	6,4	0,15	2,784
			A	B	4	17	0,15	10,2
12	Agrietamiento superficial, (piel de cocodrilo), hundimiento de la carpeta asfáltica	K115+700	A	B	2,9	9	0,15	3,915
							TOTAL	90,00

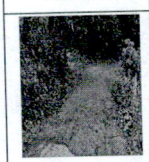
VIA DE ORDEN SECUNDARIO CODIGO 65CA02 YOPAL - LABRANZAGRANDE (SECTOR - MARGINAL (PUENTE LA CABUYA) - EL MORRO - LIMITE BOYACA)							
REGISTRO FOTOGRAFICO				CODIGO DE VÍA	TIPO DE MATERIAL	LONGITUD	M3
FOTO 1	FOTO 2	FOTO 3	FOTO 4				
				65CA02	MEZCLA DENSA EN CALIENTE MDC-2 O 19	12,1	40

PUNTO DE REFERENCIA			SENTIDO		DIMENSIONES			
ITEM	DESCRIPCION	ABSCISA	YOPAL (A)	EL MORRO (B)	ANCHO (M)= a	LONGITUD (M)= l	PROFUNDIDAD (M)= h	Volumen = M3
1	Vanos originados por lámina hidráulica del encharcamiento superficial	K2+500	A	B	3,3	3	0,15	1,5
2	Vanos y disgregación de los agregados petreos de la carpeta asfáltica	K2+600	A	B	5	4	0,15	3,0
3	Vanos producidos por la presión capilar del sector (nivel freático)	K2+700	A	B	1,7	2	0,15	0,5
4	Grietas y vanos producidos por la percolación del agua, a causa del disgregamiento del matereal petreo y de cohesión de la carpeta asfáltica	K2+800	A	B	2,4	9	0,15	3,2
5	grietas y vanos producidos por la percolación del agua, a causa del disgregamiento del matereal petreo y de cohesión de la carpeta asfáltica	K2+900	A	B	3,2	2	0,15	1,0
6	Vanos originados por lámina hidráulica del encharcamiento superficial	K2+800	A	B	2,7	1	0,15	0,4
7	Vanos originados por lámina hidráulica del encharcamiento superficial	K2+900	A	B	3,3	1,5	0,15	0,7
8	Vanos y disgregación de los agregados petreos de la carpeta asfáltica	K2+950	A	B	5	2,3	0,15	1,7
9	Vanos producidos por la presión capilar del sector (nivel freático)	K3+000	A	B	1,7	3	0,15	0,8

10	Grietas y vanos producidos por la percolación del agua, a causa del disgregamiento del matereal petreo y de cohesión de la carpeta asfáltica	K3+100	A	B	2,4	4,1	0,15	1,5
11	grietas y vanos producidos por la percolación del agua, a causa del disgregamiento del matereal petreo y de cohesión de la carpeta asfáltica	K3+200	A	B	3,2	2,7	0,15	1,3
12	Vanos originados por lámina hidráulica del encharcamiento superficial	K3+300	A	B	2,7	2,4	0,15	1,0
13	Vanos originados por lámina hidráulica del encharcamiento superficial	K3+400	A	B	3,3	1,6	0,15	0,8
14	Vanos y disgregación de los agregados petreos de la carpeta asfáltica	K3+500	A	B	5	1,9	0,15	1,4
15	Vanos producidos por la presión capilar del sector (nivel freático)	K3+600	A	B	1,7	2,2	0,15	0,6
16	Grietas y vanos producidos por la percolación del agua, a causa del disgregamiento del matereal petreo y de cohesión de la carpeta asfáltica	K3+700	A	B	2,4	2,9	0,15	1,0
17	grietas y vanos producidos por la percolación del agua, a causa del disgregamiento del matereal petreo y de cohesión de la carpeta asfáltica	K3+800	A	B	3,2	1,8	0,15	0,9
18	Vanos originados por lámina hidráulica del encharcamiento superficial	K3+900	A	B	2,7	1,1	0,15	0,4
19	Vanos originados por lámina hidráulica del encharcamiento superficial	K4+000	A	B	3,3	3,5	0,15	1,7
20	Vanos y disgregación de los agregados petreos de la carpeta	K4+400	A	B	5	3,2	0,15	2,4

	asfáltica							
21	Vanos producidos por la presión capilar del sector (nivel freático)	K4+800	A	B	1,7	2,5	0,15	0,6
22	Grietas y vanos producidos por la percolación del agua, a causa del disgregamiento del matereal petreo y de cohesión de la carpeta asfáltica	K4+900	A	B	2,4	4,3	0,15	1,5
23	grietas y vanos producidos por la percolación del agua, a causa del disgregamiento del matereal petreo y de cohesión de la carpeta asfáltica	K5+000	A	B	3,2	1,7	0,15	0,8
24	Vanos originados por lámina hidráulica del encharcamiento superficial	K6+000	A	B	2,7	3,2	0,15	1,3
25	Vanos originados por lámina hidráulica del encharcamiento superficial	K6+100	A	B	3,3	3,1	0,15	1,5
26	Vanos y disgregación de los agregados petreos de la carpeta asfáltica	K6+300	A	B	1,7	5,4	0,15	1,4
27	Vanos producidos por la presión capilar del sector (nivel freático)	K6+700	A	B	1,7	1,2	0,15	0,3
28	Grietas y vanos producidos por la percolación del agua, a causa del disgregamiento del matereal petreo y de cohesión de la carpeta asfáltica	K8+100	A	B	2,4	2,1	0,15	0,8
29	grietas y vanos producidos por la percolación del agua, a causa del disgregamiento del matereal petreo y de cohesión de la carpeta asfáltica	K8+300	A	B	2,2	1,9	0,15	0,6
30	Vanos originados por lámina hidráulica del encharcamiento superficial	K8+500	A	B	1,6	1,7	0,15	0,4

31	Vanos originados por lámina hidráulica del encharcamiento superficial	K8+950	A	B	1,7	2	0,15	0,5
32	Vanos y disgregación de los agregados petreos de la carpeta asfáltica	K9+300	A	B	1	2,4	0,15	0,4
33	Vanos producidos por la presión capilar del sector (nivel freático)	K9+330	A	B	1,7	2,2	0,15	0,6
34	Grietas y vanos producidos por la percolación del agua, a causa del disgregamiento del matereal petreo y de cohesión de la carpeta asfáltica	K10+200	A	B	2,4	3,4	0,15	1,2
35	Vanos originados por lámina hidráulica del encharcamiento superficial	K10+400	A	B	1,5	3,8	0,15	0,9
36	Vanos y disgregación de los agregados petreos de la carpeta asfáltica	K10+600	A	B	2	2,5	0,15	0,8
37	Vanos producidos por la presión capilar del sector (nivel freático)	K10+800	A	B	1,1	1,4	0,15	0,2
38	Grietas y vanos producidos por la percolación del agua, a causa del disgregamiento del matereal petreo y de cohesión de la carpeta asfáltica	K11+300	A	B	2	1,3	0,15	0,4
TOTAL								40,0

VIA DE ORDEN SECUNDARIO CODIGO 65CA01 VIA DEL CUSIANA - MIRAFLORES (SECTOR SAN BENITO - RECETOR)								
REGISTRO FOTOGRAFICO				CODIGO DE VÍA	TIPO DE MATERIAL	LONGITUD	M3	
FOTO 1	FOTO 2	FOTO 3	FOTO 4					
				65CA01	MEZCLA DENSA EN CALIENTE MDC-2 O 19	12,1	40	
PUNTO DE REFERENCIA			SENTIDO		DIMENSIONES			
ITEM	DESCRIPCION	ABSCISA	SAN BENITO (A)	RECETOR (B)	ANCHO (M)= a	LONGITUD (M)= l	PROFUNDIDAD (M)= h	Volumen = M3

1	Tramo vial que presenta disgragamiento de material superficial, agrietamiento estructural	K1+810	A	B	0,5	1	0,15	0,075
2	Presencia de vanos y baches, afectando la estructura asfáltica	K2+070	A	B	1	1,3	0,15	0,195
3	Agrietamiento superficial, (piel de cocodrilo)	K2+580	A	B	1,7	1,9	0,15	0,4845
4	Vanos y agrietamiento superficial en la estructura asfáltica	K2+810	A	B	1,5	2,6	0,15	0,585
5	Vanos de sobre tamaños,afectación profunda a la estructura asfáltica	K3+370	A	B	2,8	3	0,15	1,26
6	Agrietamiento superficial, (piel de cocodrilo)	K3+890	A	B	1,3	4,5	0,15	0,8775
7	Agrietamiento superficial, (piel de cocodrilo)	K4+860	A	B	0,9	8	0,15	1,08
8	Perdida de la carpeta asfaltica por disgregación y erosión del sector	K4+500	A	B	2,7	7	0,15	2,835
9	Perdidad de la carpeta safaltica, por procesos erósivos y de remoción en masa	k5+900	A	B	9,2	15	0,15	20,7
10	Agrietamiento superficial, (piel de cocodrilo)	k6+400	A	B	2,2	7	0,15	2,31
11	Agrietamiento superficial, (piel de cocodrilo)	K7+400	A	B	2,4	11	0,15	3,96
			A	B	2,3	7	0,15	2,415
12	Agrietamiento superficial, (piel de cocodrilo), hundimiento de la carpeta asfáltica	K9+800	A	B	2,5	8,6	0,15	3,225
							TOTAL	40,00

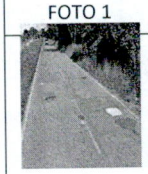
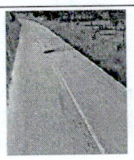
VIA DE ORDEN SECUNDARIO CODIGO 65CA01 VIA DEL CUSIANA - MIRAFLORES (RECETOR-CHAMEZA)							
REGISTRO FOTOGRAFICO				CODIGO DE VÍA	TIPO DE MATERIAL	LONGITUD	M3
FOTO 1	FOTO 2	FOTO 3	FOTO 4				

				65CA01	MEZCLA DENSA EN CALIENTE MDC-2 O 19	16,7	85	
PUNTO DE REFERENCIA			SENTIDO		DIMENSIONES			
ITEM	DESCRIPCION	ABSCISA	RECOSTON (A)	TAMARA (B)	ANCHO (M)= a	LONGITUD (M)= l	PROFUNDIDAD (M)= h	Volumen = M3
1	Tramo vial que presenta disgragamiento de material superficial, agrietamiento estructural	K16+810	A	B	2,5	17	0,15	6,375
2	Presencia de vanos y baches, afectando la estructura asfáltica	K20+070	A	B	1,8	7,3	0,15	1,97
3	Agrietamiento superficial, (piel de cocodrilo)	K21+580	A	B	2,7	8,9	0,15	3,60
4	Vanos y agrietamiento superficial en la estructura asfáltica	K22+810	A	B	1,5	13	0,15	2,925
5	Vanos de sobre tamaños,afectación profunda a la estructura asfáltica	K23+370	A	B	2,8	29	0,15	12,18
6	Agrietamiento superficial, (piel de cocodrilo)	K23+890	A	B	3,4	15	0,15	7,65
7	Agrietamiento superficial, (piel de cocodrilo)	K24+860	A	B	2	17	0,15	5,1
8	Perdida de la carpeta asfaltica por disgregación y erosión del sector	K24+500	A	B	2,7	22,6	0,15	9,15
9	Perdidad de la carpeta safaltica, por procesos erósivos y de remoción en masa	K25+900	A	B	4,5	17	0,15	11,47
10	Agrietamiento superficial, (piel de cocodrilo)	K26+400	A	B	2,2	17	0,15	5,61
11	Agrietamiento superficial, (piel de cocodrilo)	K27+400	A	B	1,9	14,9	0,15	4,24
			A	B	2,3	25	0,15	8,62

12	Agrietamiento superficial, (piel de cocodrilo), hundimiento de la carpeta asfáltica	K29+800	A	B	2,9	14	0,15	6,09
							TOTAL	85,00

VIA DE ORDEN SECUNDARIO CODIGO 65CA08-1 TRINIDAD - EL BANCO - BOCAS DEL PAUTO								
REGISTRO FOTOGRAFICO				CODIGO DE VÍA	TIPO DE MATERIAL	LONGITUD	M3	
FOTO 1	FOTO 2	FOTO 3	FOTO 4					
				65CA08-1	MEZCLA DENSA EN CALIENTE MDC-2 O 19	10	35	
PUNTO DE REFERENCIA			SENTIDO		DIMENSIONES			
ITEM	DESCRIPCION	ABSCISA	TRINIDAD (A)	BOCAS DEL PAUTO (B)	ANCHO (M)= a	LONGITUD (M)= l	PROFUNDIDAD (M)= h	Volumen = M3
1	Tramo vial que presenta disgragamiento de material superficial, agrietamiento estructural	K1+810	A	B	1	5	0,15	0,75
2	Presencia de vanos y baches, afectando la estructura asfáltica	K2+070	A	B	1	20	0,15	3
3	Agrietamiento superficial, (piel de cocodrilo)	K2+580	A	B	1,7	1,1	0,15	0,2805
4	Vanos y agrietamiento superficial en la estructura asfáltica	K2+810	A	B	1,5	11	0,15	2,475
5	Vanos de sobre tamaños,afectación profunda a la estructura asfáltica	K3+370	A	B	2,8	2,2	0,15	0,924
6	Agrietamiento superficial, (piel de cocodrilo)	K3+890	A	B	1,3	9	0,15	1,755
7	Agrietamiento superficial, (piel de cocodrilo)	K4+860	A	B	1,7	14	0,15	3,57
8	Perdida de la carpeta asfaltica por disgregación y erosión del sector	K4+500	A	B	1,5	15	0,15	3,375

9	Perdidad de la carpeta safaltica, por procesos erósivos y de remoción en masa	K5+900	A	B	4	13	0,15	7,8
10	Agrietamiento superficial, (piel de cocodrilo)	K6+400	A	B	2,2	7	0,15	2,31
11	Agrietamiento superficial, (piel de cocodrilo)	K7+400	A	B	2,4	4	0,15	1,44
			A	B	2,3	9	0,15	3,105
12	Agrietamiento superficial, (piel de cocodrilo), hundimiento de la carpeta asfáltica	K9+800	A	B	3	9,4	0,15	4,23
							TOTAL	35,00

VIA DE ORDEN SECUNDARIO CODIGO 65CA02 AGUAZUL - MANI							
REGISTRO FOTOGRAFICO				CODIGO DE VÍA	TIPO DE MATERIAL	LONGITUD	M3
FOTO 1	FOTO 2	FOTO 3	FOTO 4				
				65CA02	MEZCLA DENSA EN CALIENTE MDC-2 O 19	50,8	85

PUNTO DE REFERENCIA			SENTIDO		DIMENSIONES			
ITEM	DESCRIPCION	ABSCISA	AGUAZUL (A)	MANI (B)	ANCHO (M)= a	LONGITUD (M)= l	PROFUNDIDAD (M)= h	Volumen = M3
1	Tramo vial que presenta disgragamiento de material superficial, agrietamiento estructural	K1+810	A	B	2,6	11	0,15	4,29
2	Presencia de vanos y baches, afectando la estructura asfáltica	K2+070	A	B	3	15	0,15	6,75
3	Agrietamiento superficial, (piel de cocodrilo)	K2+580	A	B	1,7	19	0,15	4,85
4	Vanos y agrietamiento superficial en la estructura asfáltica	K2+810	A	B	1,5	6,6	0,15	1,49
5	Vanos de sobre tamaños,afectación profunda a la estructura asfáltica	K3+370	A	B	2,8	12,9	0,15	5,42
6	Agrietamiento superficial, (piel de cocodrilo)	K3+890	A	B	1,5	3,6	0,15	0,81

7	Agrietamiento superficial, (piel de cocodrilo)	K4+860	A	B	3,9	15,7	0,15	9,18
8	Perdida de la carpeta asfaltica por disgregación y erosión del sector	K23+500	A	B	2,7	16,3	0,15	6,60
9	Perdidad de la carpeta safaltica, por procesos erósivos y de remoción en masa	k29+900	A	B	6,4	15	0,15	14,40
10	Agrietamiento superficial, (piel de cocodrilo)	K31+400	A	B	4,3	14	0,15	9,03
11	Agrietamiento superficial, (piel de cocodrilo)	K32+400	A	B	2,5	13,7	0,15	5,14
			A	B	3,3	21,2	0,15	10,49
12	Agrietamiento superficial, (piel de cocodrilo), hundimiento de la carpeta asfáltica	K32+800	A	B	2,9	15,1	0,15	6,57
							TOTAL	85,00

ELABORO: JAVIER GIOVANNY SANDOVAL PARDO
INGENIERO CIVIL
MP 15202-389602 BYC
PROFESIONAL UNIVERSITARIO
CTO A TERMINO FIJO Nº 5 DEL 10-11-2022